



Estimating Soil Loss Using the Revised Universal Soil Loss Equation (RUSLE): Wadi Zarqa Ma'in Watershed as a Case Study

Ibrahim M. Oroud^{1*} , Salah Al-Tarawneh², Atef A. Ghumaid²

¹Department of Geography, College of Social Sciences, Mu'tah University, Karak, Jordan.

² The Ministry of Education, Amman, Jordan.

Abstract

Objectives: The present study examines soil loss in Wadi Zarqa Ma'in watershed, which drains the Madaba Plateau in Jordan.

Methods: The study employs the Revised Universal Soil Loss Equation (RUSLE) to map potential soil loss. Remote sensing data were obtained from the USGS website, while rainfall and soil data were obtained from the Ministry of Water and Irrigation and the Ministry of Agriculture in Jordan.

Results: The results of the study reveal that potential soil loss in the upper parts of the watershed was minimal because of the relatively flat terrains, the vegetation cover, and the widespread urban landscapes. However, significant soil loss was observed along watercourses draining the watershed due to the very steep topography and the lack of vegetation cover. According to the classification scheme of soil erosion archived by the FAO, the potential soil loss prevalent in the study area is very limited. The study reveals that the average soil loss over the entire watershed is 14.4 ton/ha per year.

Conclusion: If 40% of this soil loss is transported by waterways, there will be 120-130 thousand tons of sediment, giving a sediment volume of $80-100 \times 10^3 \text{ m}^3$ each year. The current study could supply valuable quantitative guidelines to identify areas where terracing is needed to control soil erosion in watersheds. Furthermore, it could serve as a valuable decision support tool for land management aimed at protecting natural resources and conserving ecosystems.

Keywords: Erosion, Jordan, sediment yield, soil loss, soil loss equation.

تقدير فقدان التربة باستخدام المعادلة العالمية المعدلة لفقدان التربة (RUSLE) حوض زرقاء ماعين: حالة دراسية

إبراهيم العرود^{1*}, صالح الطراونة², عاطف الغميش²

¹قسم الجغرافيا، كلية العلوم الاجتماعية، جامعة مؤتة، الكرك، الأردن.

²وزارة التربية والتعليم الأردنية، عمان، الأردن.

ملخص

الأهداف: يقيّم هذا البحث فقدان التربة من حوض وادي زرقاء ماعين الذي يصرف مياه هضبة مادبا، الأردن.

المنهجية: استُخدمَت الدراسة معادلة فقدان التربة العالمية المعدلة (RUSLE) لانتاج خريطة خسارة التربة المحتملة. جرى الحصول على بيانات الاستشعار عن بعد من موقع هيئة المسح الجيولوجي الأمريكية، في حين تم الحصول على بيانات هطول الأمطار والتربة من وزارة المياه والري ووزارة الزراعة، الأردن.

النتائج: توضّح نتائج الدراسة أن فقدان التربة المحتملة كانت صغيرة في الأجزاء العليا من الحوض لأنخفاض تضرس السطح نسبياً ووجود غطاء نباتي وانتشار التجمعات الحضرية. لوحظ فقدان كبير للتربة على طول مجاري المياه بسبب التضاريس شديدة الانحدار وعدم وجود غطاء نباتي. ووفقاً للتصنيف تأكل التربة الذي تم اقتراحه من منظمة الأغذية والزراعة، فإن فقدان التربة المحتمل السادس في منطقة الدراسة هو خفيف جداً. وجدت الدراسة أن المتوسط الحسابي لفقدان التربة على جميع أجزاء الحوض بحدود 14.4 طن/هكتار في السنة.

الخلاصة: إذا تم الافتراض أن 40٪ من التربة المفقودة تنقلها المجاري المائية، فسيكون هناك 120-130 ألف طن من الرواسب، مما يعطي حجماً يتراوح بين 80-100 ألف متر مكعب من الرواسب كل عام. يمكن أن توفر المنهجية الحالية إرشادات لتحديد المناطق التي يتزامن فيها تشيد مصانع لدرء تأكل التربة. كما يمكن استخدام النموذج الحالي كأداة لدعم القرار لإدارة الأراضي لحماية الموارد الطبيعية وحفظ النظم البيئية.

الكلمات الدالة: فقد التربة، الإنتاج الروسي، التعريفة، الأردن، معادلة فقدان التربة.

Received: 8/4/2022

Revised: 15/1/2023

Accepted: 12/4/2023

Published: 30/3/2024

* Corresponding author:

ioroud@mutah.edu.jo

Citation: Oroud, I. M., Al-Tarawneh, S., & Ghumaid, A. A. (2024). Estimating Soil Loss Using the Revised Universal Soil Loss Equation (RUSLE): Wadi Zarqa Ma'in Watershed as a Case Study. *Dirasat: Human and Social Sciences*, 51(2), 196–212.
<https://doi.org/10.35516/hum.v51i2.1484>



© 2024 DSR Publishers/ The University of Jordan.

This article is an open access article distributed under the terms and conditions of the Creative Commons Attribution (CC BY-NC) license
<https://creativecommons.org/licenses/by-nc/4.0/>

المقدمة

يعد انجراف التربة أحد أهم الأخطار الرئيسية التي تهدد ديمومة الزراعة والتطور الاقتصادي (Li, 2000; FAO, 2015) وتعاني المناطق الجافة وشبه الجافة من مشكلة انجراف التربة بسبب طبيعة الأمطار الفجائية عالية الشدة أحياناً من جهة وقلة أو خلو السطح من الغطاء النباتي (El-Swaify, 1997; Orooud, 2015). كما أن الانجراف يstem في فقدان مغذيات التربة وانخفاض غلة المحاصيل وانخفاض الإنتاجية (Renard et al., 1997) (Renard et al., 1997). ويعد انجراف التربة أحد الأساليب الرئيسية لتدمر الأراضي ويشكل تهديداً خطيراً للأمن الغذائي والاستدامة الزراعية (Kalambukattu & Kumar, 2017). وتحتاج الترب في البيئات الجافة وشبه الجافة فترة طويلة لل تكون لقلة المطر وارتفاع التبخر - نتح الكامن. وذكر تقرير صادر عن منظمة الأغذية والزراعة أنه لتكوين طبقة من التربة بعمق 3-2 سم في بعض المناطق الجافة وشبه الجافة، فإن ذلك يستغرق حوالي 1000 عام (FAO & ITPS, 2015).

ويُعد انجراف التربة أحد الأساليب الرئيسية لتدمر أراضي الأحواض المائية في الأردن وخاصةً الأحواض المطلة على البحر الميت لارتفاع كمية الأمطار النسبية من جهة وشدة الانحدار. كما تتعرض هذه الأحواض للرعى الجائر وتراجع مساحات النباتات نتيجة التحطيط وتواли سنوات الجفاف (Orooud, 2018). وبعد انجراف التربة أحد أبرز مظاهر تدهور الأحواض البحريّة الذي يتسبّب عليه آثار سلبيّة على الوضع الاقتصادي والأمن الغذائي الوطني وكمية ونوعية الموارد المائية السطحية والجوفية.

وقد أجريت العديد من الدراسات لتقييم انجراف التربة، وكان معظمها يتم بالرصد الحقلـي. وعلى الرغم من الدقة النسبية العالية للرصد الحقلـي، إلا أن هذه الوسائل تحتاج الكثير من الأيدي العاملة والتكلفة العالية، علاوة على محدودية المساحات الجغرافية التي يمثلها المسح الحقلـي. وقد أدى إطلاق الأقمار الصناعية وما رافقها من تحسـن كبير في القدرة التميـزية المكانـية للمـركبات الفضـائية المتـقطـلة على توفير بيانات لـمساحـات واسـعة من سطـح الأرض وبصـورة متـزـامـنة. كما أن تطور برامجـيات أنـظـمة المـعلومـات الجـغرـافية وـقدـرتـها الكـبـيرـة على إـجـراء حـسـابـات رـياـضـية معـقدـة أـتـاحـ الفـرـصـة للـباحثـين دـمجـ بيانـاتـ الاستـشعـارـ عنـ بـعـدـ ضـمـنـ بـيـةـ أنـظـمةـ المـعلومـاتـ الجـغرـافيةـ لـدرـاسـةـ الكـثـيرـ منـ المـعـالـمـ السـطـحـيةـ ضـمـنـ مـسـاحـاتـ وـاسـعـةـ.

تم تطوير العديد من النماذج التي تقدر فقدان وانجراف التربة، منها على سبيل المثال المعادلة العالمية لفقدان التربة Universal Soil Loss (Universal Soil Loss Equation: USLE)، والمعادلة العالمية المعدلة لفقدان التربة Revised Universal Soil Loss Equation RUSLE (Equation: RUSLE) (Igwe et al., 2017) (Erosion Prediction Model: EPM) (Erosion Prediction Project WEPP: Renard et al., 1997).

وهناك عدة دراسات استخدمت نموذج RUSLE لتقدير انجراف التربة في الأردن والمناطق المشابهة في مناخها. فقدرـتـ القـطـيشـ (2013) انـجـرافـ التـربـةـ فيـ وـادـيـ الحـساـ باـسـتـخـدـامـ نـمـوذـجـ RUSLEـ وـتوـصـلـتـ أـنـ قـاـبـلـيـةـ الـانـجـرافـ تـرـاوـحـتـ ماـ بـيـنـ 10ـ إـلـيـ أـكـثـرـ مـنـ 100ـ طـنـ/ـهـكـتـارـ/ـسـنةـ. وـدـرـسـ etـ Farhanـ (2013) اـهـفـدـانـ التـربـةـ باـسـتـخـدـامـ RUSLEـ فيـ حـوـضـ كـفـرنـجـةـ فيـ مـحـافـظـةـ عـجـلـونـ وـوـجـدـ أـنـ المـعـدـلـ السـنـوـيـ لـفـقـدـانـ التـربـةـ يـتـرـاوـحـ بـيـنـ 0ـ إـلـيـ 1850ـ طـنـ/ـهـكـتـارـ/ـسـنةـ. كـمـ درـسـ العـوـدـاتـ (2019) تـقـدـيرـ النـاتـجـ الرـسـوـبـيـ فيـ حـوـضـ كـفـرسـوـمـ ضـمـنـ وـادـيـ الـيـرـمـوـكـ باـعـتـمـادـ عـلـىـ مـعـادـلـةـ RUSLEـ ، وـتـوـصـلـتـ الـدـرـاسـةـ أـنـ حـوـالـيـ 96.6%ـ مـنـ مـسـاحـةـ الـحـوـضـ تـعـانـيـ مـنـ تـأـكـلـ خـفـيفـ، بـنـاتـجـ رـسـوـبـيـ أـقـلـ مـنـ 10ـ طـنـ/ـهـكـتـارـ/ـسـنـوـيـ، وـقـدـرـتـ نـسـبـةـ الـأـرـاضـيـ الـعـرـضـةـ للـتـأـكـلـ الخـطـرـ 0.27%ـ مـنـ الـحـوـضـ حـيـثـ زـادـ النـاتـجـ الرـسـوـبـيـ فـيـهـاـ عـنـ 100ـ طـنـ لـكـلـ هـكـتـارـ سـنـوـيـ. كـمـ درـسـ (Al-Shamaylh, 2017) (Erosion Prediction Project WEPP: Renard et al., 1997) اـهـفـدـانـ التـربـةـ فيـ جـنـوبـ مـحـافـظـةـ الـكـرـكـ، وأـظـهـرـتـ الـدـرـاسـةـ أـنـ مـتوـسـطـ فـقـدـانـ التـربـةـ السـنـوـيـ فيـ مـنـطـقـةـ الـدـرـاسـةـ بـلـغـ 85ـ طـنـ/ـهـكـتـارـ. كـمـ درـسـ (المـحـمدـ والـبـلـبـيـسيـ (2019)) تـدـهـورـ التـربـةـ فيـ حـوـضـ وـادـيـ الـعـرـبـ باـسـتـخـدـامـ مـعـادـلـةـ RUSLEـ وـتـمـ الـكـشـفـ عـنـ مـنـاطـقـ الـتـربـةـ المـتـدـهـورـةـ وـحـسـابـ مـسـاحـاتـهاـ وـتـحـدـيدـ مـنـاطـقـ الـانـجـرافـ وـالـتـدـهـورـ عـلـىـ مـسـتـوىـ وـحدـاتـ صـغـيرـةـ مـنـ التـربـةـ.

وهناك عدة دراسات أجريت في المنطقة العربية لأحواض البحريّة تشبه ظروفها المناخية تلك السائدة في الأحواض البحريّة في الأردن التي تصرف مياهها نحو حفرة الامتدام. فقد تناول (Abdo & Salloum, 2015) فقد التربة في حوض مرقايا شمال غرب سوريا باستخدام RUSLE، وأظهرت النتائج أنَّ معدل انجراف التربة السنوي تراوح بين 0-109.32 طن/هكتار/سنة. وأن 58% من مساحة الحوض تتمتع بفقدان منخفض من التربة و27% فقدان متـوسطـ 11% تعانـيـ منـ فـقـدـانـ شـدـيـدةـ وـ4%ـ شـدـيـدةـ جـداـ. كـمـ قـارـنـ محمدـ وـآخـرونـ (2016) فـقـدـانـ التـربـةـ باـسـتـخـدـامـ RUSLEـ وـبـرـنـامـجـ WEPPـ فيـ مـنـطـقـةـ الشـيخـ بـدـرـ-ـسـورـيـاـ، وـأـشـارـتـ نـتـائـجـ الـدـرـاسـةـ أـنـ مـعـدـلاتـ الـانـجـرافـ فيـ مـنـطـقـةـ الـدـرـاسـةـ وـفـقـ نـمـوذـجـ RUSLEـ تـرـاوـحـتـ بـيـنـ 146.48ـ إـلـيـ 288ـ طـنـ/ـهـكـتـارـ/ـسـنةـ. تـرـاوـحـتـ حـسـبـ بـرـنـامـجـ WEPPـ مـاـ بـيـنـ 3.5ـ إـلـيـ 288ـ طـنـ/ـهـكـتـارـ/ـسـنةـ.

ومن الملحوظ التفاوت الكبير في قيم فقدان التربة ضمن الدراسات السابقة الذكر. وتعزيز هذه الاختلافات إلى عدة عوامل تشمل:

1. التفاوت في الظروف المناخية والغطاء النباتي وطبوغرافية الأحواض المختلفة. إذ على الرغم من وقوع هذه الأحواض ضمن بيئـةـ الـبـرـ المتوسطـ، إلاـ أنـ هـنـاكـ تـفـاـوـتـاـ كـبـيرـاـ بـيـنـ هـذـهـ الأـحـواـضـ مـنـ حـيـثـ الـهـبـولـ المـطـريـ الذـيـ يـتـرـاوـحـ بـيـنـ 200ـ مـلـمـ أوـ أـقـلـ كـمـاـ هوـ فـيـ وـادـيـ الـحـساـ إـلـيـ أـكـثـرـ مـنـ 600ـ مـلـمـ كـمـاـ هوـ فـيـ مـنـطـقـةـ عـجـلـونـ وـجـزـءـ غـيـرـ يـسـيرـ مـنـ حـوـضـ الـيـرـمـوـكـ. وـنـتـيـجـةـ الـاـخـلـافـاتـ الـمـطـريـةـ، فـيـنـ الـغـطـاءـ الـأـرـضـيـ يـتـفـاـوـتـ عـلـىـ نـحـوـ وـاسـعـ ضـمـنـ الـأـحـواـضـ الـمـخـلـفـةـ، إـذـ أـنـ بـعـضـ الـأـحـواـضـ يـخـلـوـ مـنـ الـنبـاتـاتـ نـتـيـجـةـ ظـرـفـ الـجـفـافـ الـقـاسـيـةـ مـنـ جـهـةـ وـالـرـعـيـ الـجـائـرـ مـنـ جـهـةـ أـخـرىـ، بـيـنـماـ تـكـسـوـ بـعـضـ

الأحواض الأخرى نباتات وشجيرات كثة كما هو الحال في جبال عجلون تؤثر في دورها على فقدان التربة بفعل الماء.

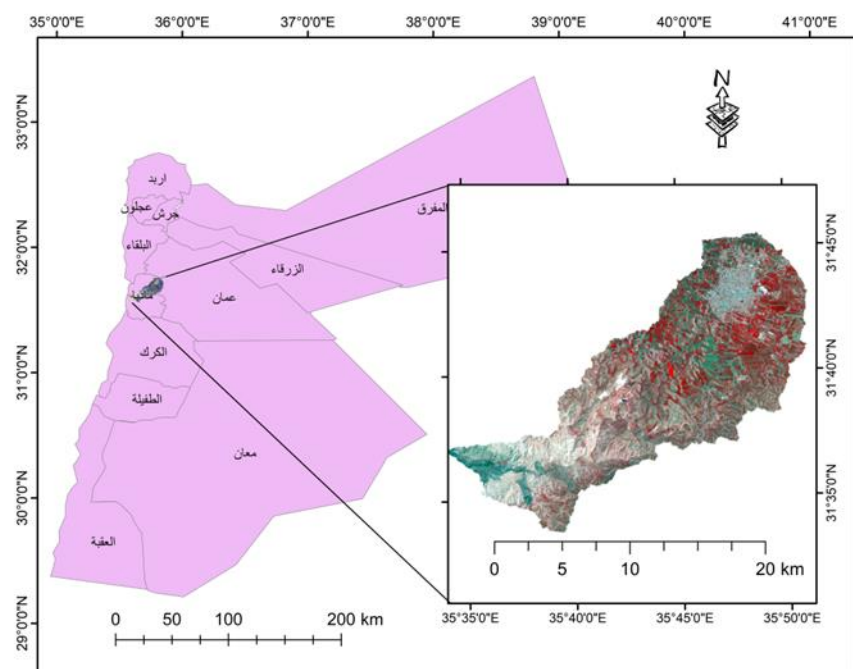
2. لحساب قدرة المطر على التعرية (rainfall erosivity) وكذلك في ما يتعلق بإدارة الأحواض النهرية وحساب العامل الطبوغرافي. وينتج عن هذه الفروق تباين واضح في النتائج التي يحصل يستخدم الباحثون معاملات (parameterizations) (equation coefficients) ومعايير (expressions) مختلفة في المعادلات المستخدمة لحساب العناصر الخمسة الموجودة ضمن المعادلة العالمية المعدلة لانجراف التربة. فمثلاً هناك عدة معادلات بمعاملات مختلفة (expressions) عليها الباحثون.

3. هناك بعض الأخطاء التي تحصل عند تقدير المطر وتحويله من بيانات نقطية إلى حقل مستمر (continuous field). إذ أنه نتيجة قلة بيانات المطر في معظم البيانات في الأردن أو صعوبة الحصول عليها أو عدم دقتها في كثير من الأحيان، فإنه عند تحويل بيانات المطر النقطية وربما تكون محطة واحدة ضمن الحوض أو ربما يتم التقدير أيضاً على نحو حدسي (intuitive) يحدث خطأً عند تحويل البيانات النقطية إلى بيانات متصلة مما يسهم في زيادة الخطأ في نتائج النموذج.

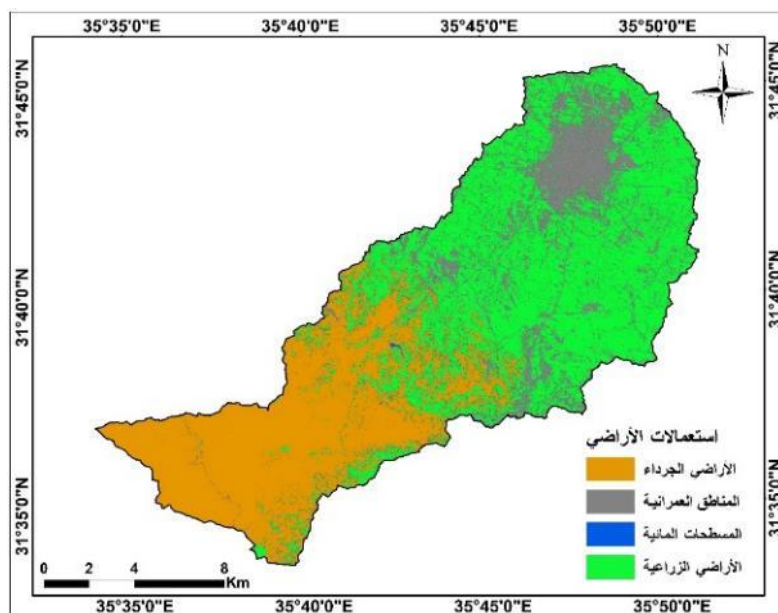
وعطفاً على ما تقدم، فقد توصل الدراسة الحالية لتجنب عدم الموثوقية (uncertainty) في العناصر التي يتم من خلالها حساب فقدان التربة من خلال استخدام المعادلات التي ثبتت مصداقية مخرجاتها من خلال المسح الحقل، كما أنه تم تقدير المطر ضمن حوض الدراسة بناءً على منهجية علمية تأخذ بعين الاعتبار كل من التوزيع النقطي للمطر (spatial domain) والعامل الطبوغرافي كعامل طبيعي مقيد (Oroud, 2022). وتهدف الدراسة الحالية إلى تقييم قابلية فقدان التربة السنوي في حوض وادي زرقاء ماعين اعتماداً على المعادلة العالمية لفقدان التربة RUSLE. وسيتم دمج البيانات المستخلصة من الرصد الحقل والبيانات الاستشعار عن بعد ونظم المعلومات الجغرافية GIS لتقدير فقدان التربة بفعل الماء. كما يسهم البحث الحالي في تقدير حجم الناتج الروسي المتتفق من الحوض النيري الذي ينتهي بها المطاف عادةً في السدود المائية المقامة أو المزمع إنشاؤها، وهكذا تسهم مثل هذه الدراسات في بناء تصور مسبق عن حجم الرسوبيات المتوقعة قبل إنشاء السدود المائية وكذلك في تحديد المناطق الأكثر عرضة للتعرية المائية التي تستوجب إدارتها قبل البدء بتنفيذ السدود المائية. أي أن هذه الدراسات تمثل جزءاً مهماً يجب تنفيذها قبل إنشاء السدود على الأودية.

منطقة الدراسة

يقع حوض وادي زرقاء ماعين على الطرف الشمالي الشرقي للبحر الميت ويحده من الجهة الجنوبية وادي الوالة ومن الجهة الشمالية وادي المنشار، ويقع الحوض فلكياً بين خطى طول (35.851 - 35.566) شرقاً وبين دائري عرض (31.561 - 31.7575) شمالاً. ويوضح شكل 1 موقع منطقة الدراسة. وتبلغ مساحة الحوض حوالي 235.3 كم²، كما أن 91% من مساحة الحوض تقع ضمن أراضي محافظة مادبا و9% من المساحة تقع ضمن أراضي العاصمة عمّان. ويتراوح ارتفاع الحوض بين 886 م فوق مستوى سطح البحر في منطقة تلة خربة العال و365 م تحت مستوى سطح البحر قرب مصبها. يقع الحوض في بيئه شبه جافة إلى شديدة الجفاف ويتراوح المعدل السنوي للهطول بين 80-320 ملم سنوياً. ويتراوح المعدل السنوي لدرجات الحرارة بين 16-25 درجة سيلسيوس. ويمتد الحوض ضمن قرينة جفاف بوديكو (Budyko Dryness Index): $DI = RN/(P \cdot LE)$ ، حيث أن RN صافي الأشعة السنوية، P كمية المطر السنوية، LE الحرارة الكامنة للتبخّر. بين 3.8 في المناطق المرتفعة إلى ما يزيد عن 30 قرب البحر الميت (Oroud, 2015). علماً أن المناطق الواقعه ضمن قرينة أقل من 5-6 تمثل بيئات مناخية شبه جافة وتنبع منها الزراعة المطيرية، (البعليه)، أما عندما تكون القرينة بين 6-12 فيمكن أن يمارس فيها الرعي المقيد، بينما تكون البيئات التي تزيد فيها قرينة الجفاف عن 12 قائمة إلى قاحلة جداً (hyperarid) (hyperarid) وانتاجيتها النباتية متخصصة جداً مما يجعلها بيئه هشة وذات حساسية عالية للممارسات البشرية الخاطئة. ويظهر شكل 2 أصناف استعمالات الأرضي ضمن حوض الدراسة: المناطق العمرانية والأراضي الجرداء والأراضي الزراعية والمسطحات المائية. وبلغت مساحة الأصناف سابقة الذكر 28.1 كم²، 83.1 كم² وأقل من 1 كم² على التوالي.



الشكل (1): موقع حوض وادي زرقاء ماعين – الأردن. يظهر حوض الدراسة بمرئية لاندستات 8 مدمجة باللون "الكافب": الحزم 5.4.3 .2020/4/11 متأخذت في ذات قدرة تمييزية 15 متر (false color sharpened image)



الشكل (2): استعمالات الأرضي في حوض وادي زرقاء ماعين

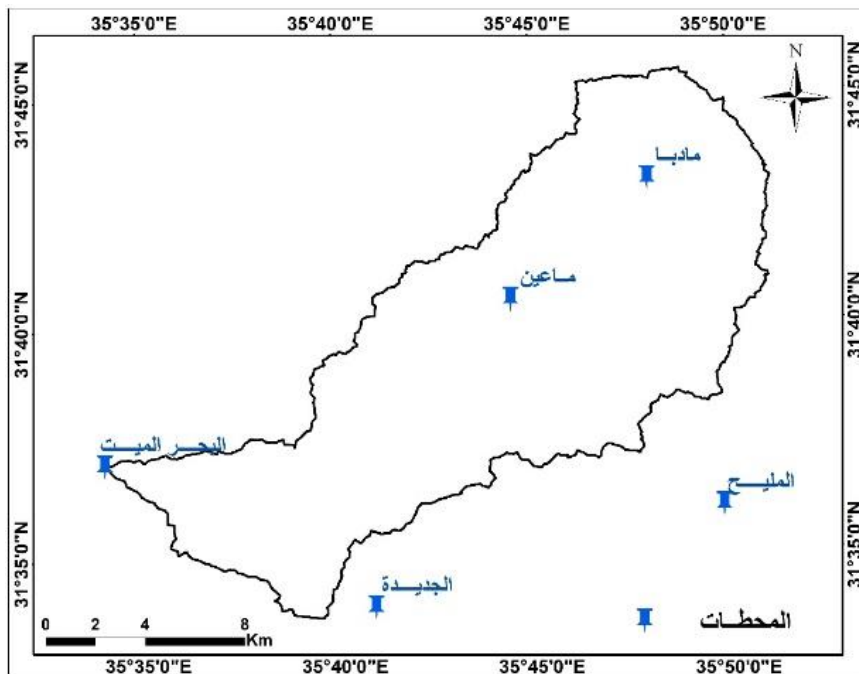
منهجية الدراسة

تقسم منهجية الدراسة إلى جزئين، الأول يتعلّق بمصادر البيانات ونوعيتها والثاني يناقش آلية عمل نموذج RUSLE.

مصادر البيانات

بيانات الأمطار

تم الحصول على بيانات الهطول المطري السنوي من محطات الرصد التابعة لوزارة المياه والري، وتم الاعتماد على أربع محطات، اثنان منهما ضمن منطقة الدراسة، ماعين ومادبا ومحطتان على أطراف الحوض، الجديدة وملح، وتمأخذ كمية المطر على الشاطئ الشمالي الشرقي للبحر الميت 80 ملم. ويبين الشكل (3) توزيع المحطات المطوية (أنظر أيضاً الجدول 1).



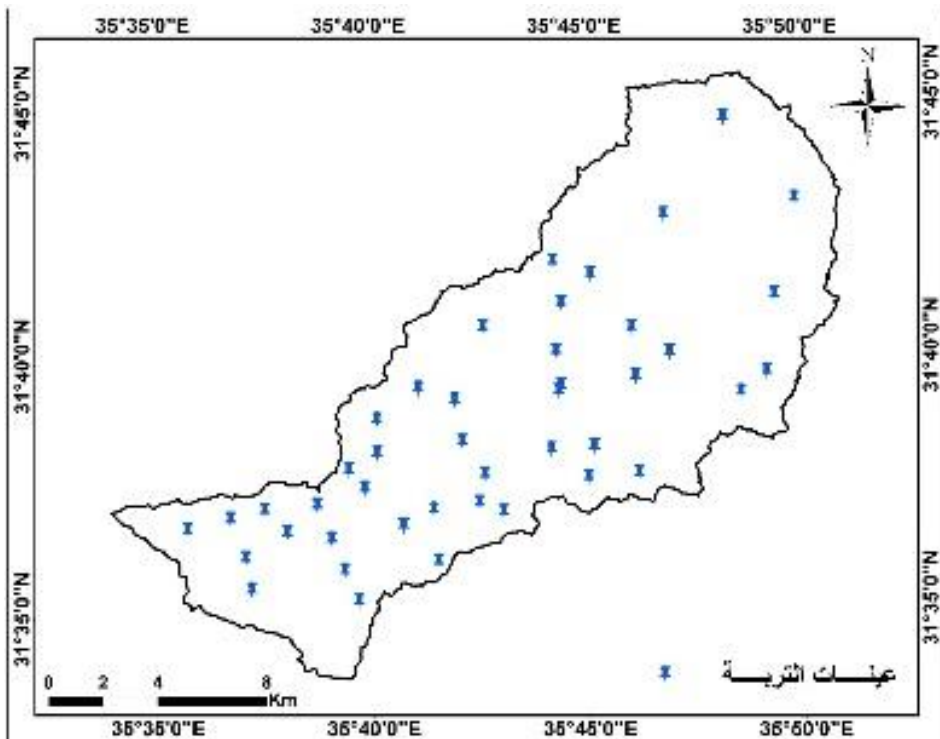
الشكل (3): موقع المحطات المستخدمة في تقدير المطر في الحوض.

الجدول (1): متوسط هطول الأمطار السنوي (ملم) لمحطات.

المحطة	من سنة	إلى سنة	معدل هطول الأمطار السنوي (ملم)
مادبا	1998	2018	320
ماعين	1998	2018	230
الجديدة	1998	2018	80
ملح	1998	2018	130
البحر الميت	1974	2018	80

التربة

تم الحصول على 43 عينة تربة ضمن حدود منطقة الدراسة تم جمعها من وزارة الزراعة والمركز الوطني للبحوث الزراعية سنة 2020. ويوضح شكل 4 موقع جمع عينات التربة. وتم من خلال هذه العينات تحديد تركيب التربة ونسيجها. وتم الاستعانة ببيانات المشروع الوطني لمسح التربة واستعمالات الأراضي (وزارة الزراعة، 1994) لمعرفة أصناف الترب المنتشرة في منطقة الدراسة وتبيّن نظام الحرارة والرطوبة التي تقع ضمنها الترب المختلفة.



الشكل (4): موقع جمع عينات التربة في حوض وادي زرقاء ماعين. المصدر: وزارة الزراعة والمركز الوطني للبحوث الزراعية.

بيانات الاستشعار عن بعد

تم تحميل مرئية فضائية ملتقطة سنة 2019 بواسطة القمر الصناعي *Sentinel 2* من موقع هيئة المساحة الجيولوجية الامريكية (USGS) (<https://earthexplorer.usgs.gov>). وتبلغ القدرة التمييزية المكانية 10م. وقد استخدمت المرئية لتصنيف استخدام الأرض ولحساب الغطاءات الأرضية المختلفة وحساب الاختلاف النباتي المعيير (Normalized: NDVI Difference Vegetation Index). أما نموذج الارتفاع الرقعي (DEM) فقد تم تحميله من القمر الصناعي ALOS PALSAR عبر الرابط <https://ASF.alaska.edu>. بقدرة تمييزية مكانية 12.5 متر.

المعادلة العالمية لتقدير فقدان التربة RUSLE

ت تكون المعادلة العالمية المعدلة لفقدان التربة من خمسة عناصر: المطر السنوي وقابلية التربة للانجراف ومعامل الطبوغرافي الذي يشمل طول المنحدر وزاوية الانحدار والغطاء الأرضي وإدارة الحوض مثل وجود المصاطب والحراثة الكنتورية ووسائل حفظ التربة الأخرى. ويتم الحصول على التوزيع المكاني لفقدان التربة من حاصل ضرب جميع العناصر سابقة الذكر (Samanta et al., 2016; Shamshad et al., 2008).

$$A = R \times K \times LS \times C \times P \quad (1)$$

حيث أن:

A = مقدار التربة المفقودة (طن/هكتار.سنة)

R = عامل التعرية المطرية (Rainfall-Runoff Erosivity Factor) $\text{MJ.mm.ha}^{-1}.h^{-1}.yr^{-1}$

K = عامل قابلية التربة للانجراف (Soil Erodibility Factor) $\text{Ton.h.MJ}^{-1}.mm^{-1}$

LS = العامل الطبوغرافي (topographic factor), (بدون وحدات)

C = عامل الغطاء الأرضي (Cover Management Factor) (بدون وحدات)

P = عامل إجراءات الصيانة (Conservation Practice Factor) (بدون وحدات)

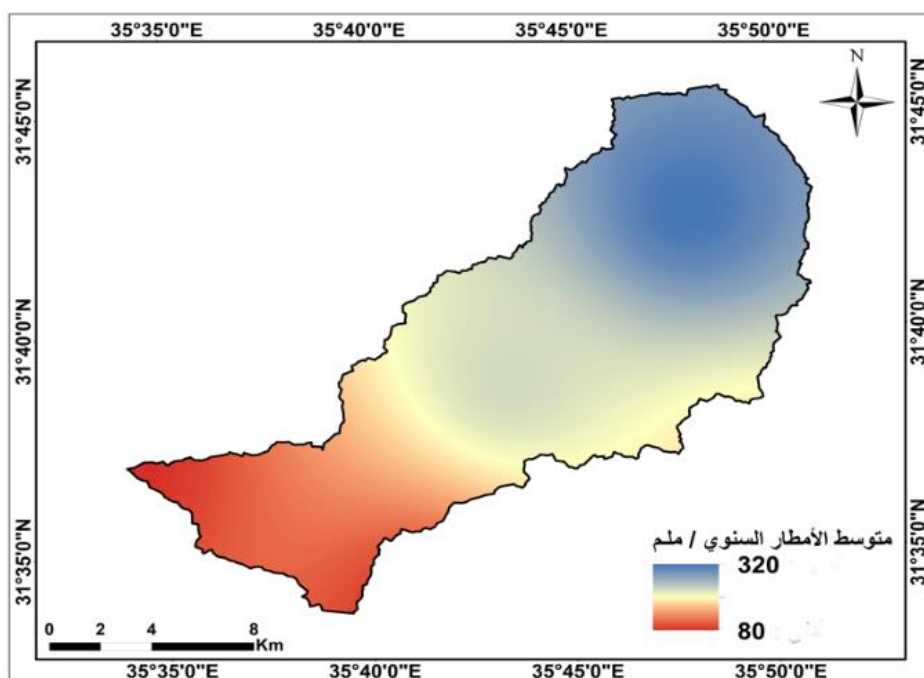
عامل التعرية المطرية (R) Rainfall Erosivity Factor

يعد عامل التعرية المطرية (R) العامل المناخي الوحيد ضمن عوامل نموذج RUSLE. تم إنشاء طبقة شبكية (Raster layer)، وتم تقدير العامل المطري ضمن الحوض بناءً على خمس محطات مطرية آخذين بعين الاعتبار عند تقدير المطر التضاريس. وتم الحصول على حقل متصل للمطر من

خلال أداة (IDW) inverse distance weighting). وتم اشتقاق عامل التعرية المطرية R بالاعتماد على مؤشر روز Rose Index الذي يتناسب مع البيئات الجافة وشبكة الجافة التي يقع ضمنها حوض وادي زرقاء ماعين (Ghosal & Bhattacharya, 2020).

$$R = 0.5 P \quad (2)$$

حيث أن R هو مؤشر التعرية المطرية و P كمية المطر السنوية. وبين الشكل 5 التوزيع المكاني لعامل R في منطقة الدراسة، فقد تراوحت قيمة عامل التعرية المطرية R في حوض وادي زرقاء ماعين بين 40-1160 MJ.mm.ha-1.yr-1.



الشكل (5): عامل التعرية المطرية R.

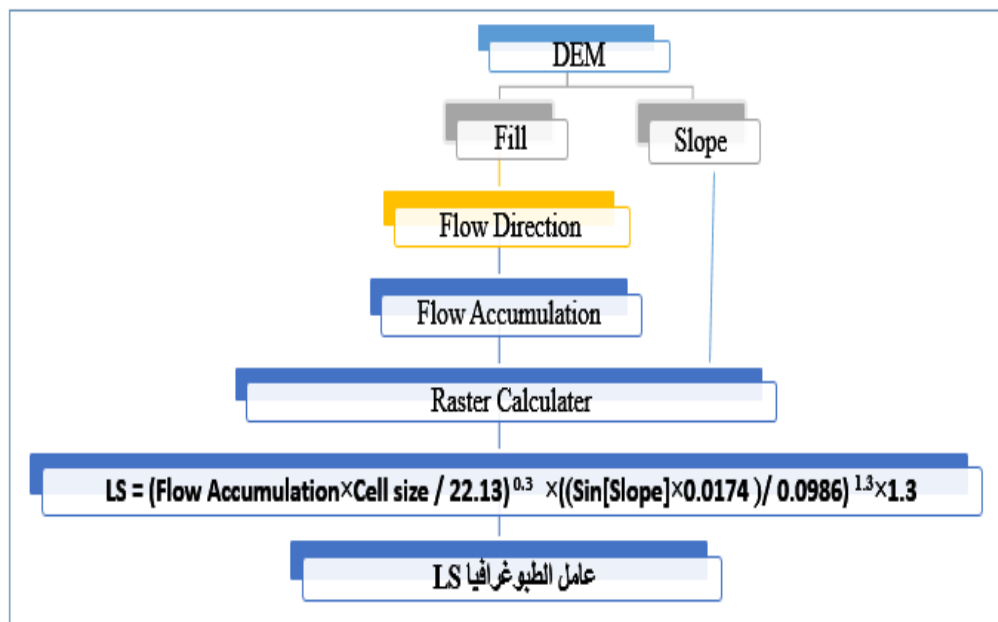
عامل الطبوغرافيا (LS) Topographic Factor (LS)

يتم الحصول على عامل الطبوغرافيا (LS) عند دمج طول المنحدر (L) والانحدار (S) سواء كان في الدرجات أو النسبة المئوية. ويمثل عامل LS تأثير التضاريس على فقدان التربة الذي يرتفع عند زيادة زاوية الانحدار وطول المنحدر (Sahu et al., 2017). وتشير العديد من الدراسات أن زاوية ميل المنحدر أكثر أهمية في التأثير على فقدان التربة من طول المنحدر (e.g., McCool et al., 1987). وهناك العديد من التعبيرات الكمية التي وضعت لحساب قيمة LS، ولكن الفروق الناتجة في قيمة LS قليلة نسبياً. ويمكن كتابة LS على النحو التالي (Burch and Moore, 1985)،

$$LS = ((FACC \frac{CZ}{22.13})^{0.3} \times \sin(S \times 0.0174)/0.0986)^{1.3 \times 1.3} \quad (3)$$

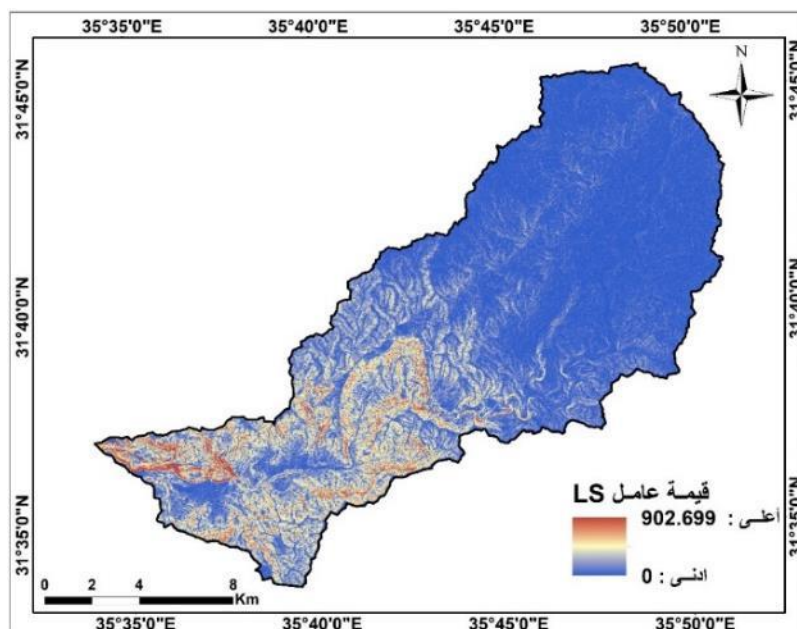
حيث أن FACC هو (Flow accumulation) هو حجم الخلية (القدرة التمييزية للمرain).
CZ هو حجم الخلية (القدرة التمييزية للمرain).
S الانحدار بالدرجة.

ويوضح الشكل 6 خطوات اشتقاق عامل LS من خلال بيانات DEM باستخدام برنامج ArcMap 10.7



الشكل (6): مخطط توضيحي لحساب عامل الطبوغرافي (LS).

ويظهر الشكل 7 عامل الطبوغرافيا. وتزداد القيم في المناطق شديدة الانحدار وعندما يكون طول المنحدر كبيرا.



الشكل (7): التوزيع المكاني لعامل الطبوغرافي LS ضمن حوض الدراسة.

عامل قابلية التربة للانجراف (K)

ت تكون التربة من كميات متفاوتة من الطين والغرين والرمل. وهناك ترب ذات قابلية للانجراف أكثر من غيرها اعتماداً على نسيج التربة (Kalambukattu & Kumar, 2017). وبعد عامل K تعبر كمياً لقابلية التربة على فقدان التربة بواسطة حبيبات المطر المتتسقة والمياه الجارية. وتم تقدير هذا العامل اعتماداً على عينات تم جمعها من قبل وزارة الزراعة ومركز البحوث الزراعية. ويوضح الجدول 2 عامل K لأنواع متعددة من التربة الموجودة في منطقة الدراسة. كما تم استخدام مثلث قوام التربة (Nomograph) لإيجاد نفاذية وبنائية التربة (Wischmeier & Smith, 1978). ويعتمد عامل قابلية التربة للتعرية K على الخصائص الفيزيائية للتربة، التي تتضمن نفاذية التربة Soil Permeability ونسيج التربة Soil Texture. وبالاعتماد

على النسبة المئوية للطين Clay والماء العضوية. وتشير القيم الواردة في الجدول 3 قابلية التربة على الانجراف. وتم استخراج قيمة K لكل عينة من خلل المعادلة التالية (Wischmeier & Smith, 1965)

$$K = 22.76M^{1.14} \times 10^{-8} \times (12 - A) + 0.0043 + (B - 2) \times 0.003(C - 3) \quad (4)$$

=عامل قابلية التربة للانجراف.

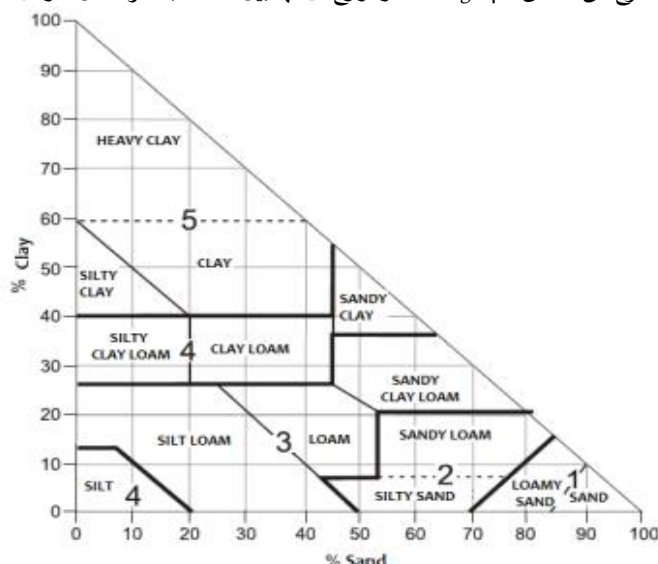
=معامل حجم الحبيبات (particle size distribution) وتساوي ($\text{نسبة السلت} - \text{نسبة الرمل}) \times (100 - \text{نسبة الطين})$)

([%silt-%sand] $\times [100\%-\text{clay}]$)

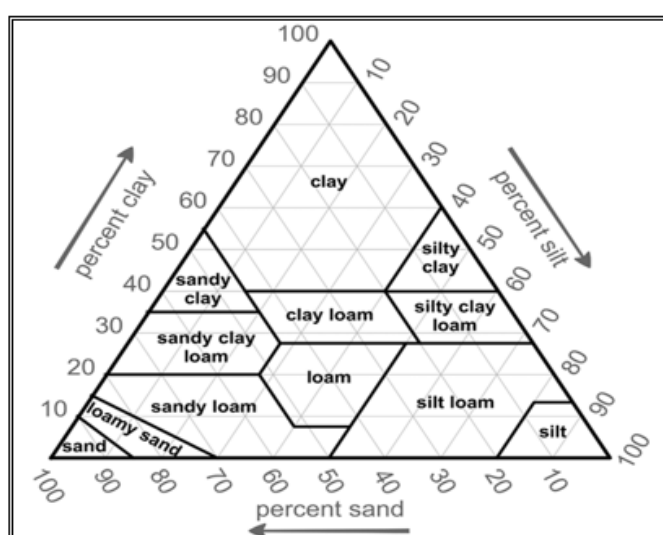
=نسبة المادة العضوية،

=بنائية التربة ويستخرج من منحنى Nomograph وتتراوح قيمتها بين 1 – 5 (أنظر شكل 8)،

=نفاذية التربة النسبية وتستخرج من منحنى Nomograph وتتراوح قيمتها بين 1 – 6 (أنظر شكل 9 والجدول 2).



الشكل (8): بنية التربة على أساس التصنيف التركيبي. المصدر: (Ontario Centre for Soil Resource Evaluation, 1993)



الشكل (9): مثلث قوام التربة. المصدر: (Ontario Centre for Soil Resource Evaluation, 1993)

الجدول (1): تفاصيل التربة بالاعتماد على نسيج التربة.

قيمة التفاصيل	نسيج التربة
6	Heavy clay, Clay
5	Silty clay loam, Sandy clay
4	Silty clay loam, Sandy loam
3	Loam, Silt loam
2	Loam sand, Sandy loam
1	Sand

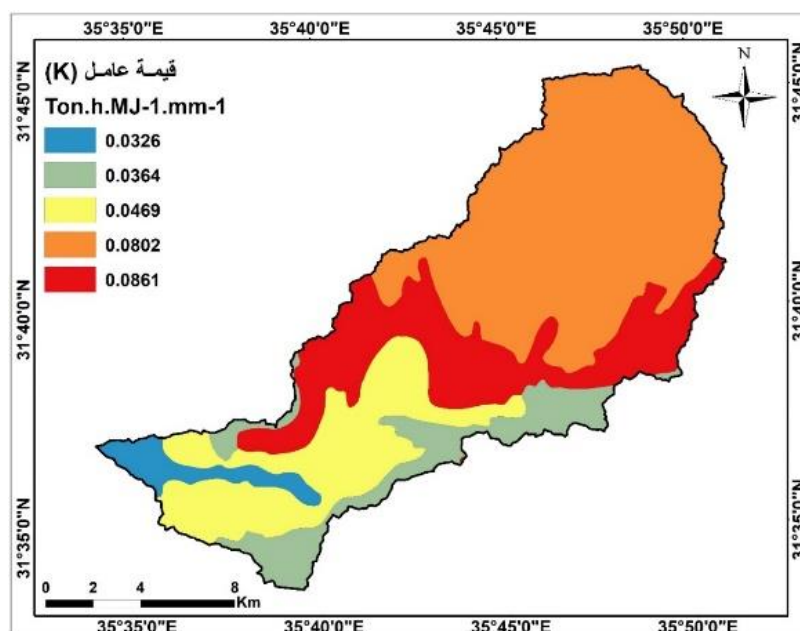
(USDA, 1983) (SCS, 1972)

وقد تم الاستعانة بعينات التربة التي تم الحصول عليها لاشتقاق نوع التربة ونسيجها. واستخدمت العينات لتحديد قيمة K ضمن كل نوع من أنواع الترب المنتشرة داخل حدود الحوض، وبين الجدول 3 قيمة عامل قابلية التربة على الانجراف (K) بالنسبة لأنواع الترب المنشرة في منطقة

الجدول (1): قيمة عامل قابلية التربة على الانجراف (K).

قيمة K	نوع التربة
0.0861	تربة البحر المتوسط مبتدئة التطور الكلسية الجافة
0.0802	تربة المتوسط مبتدئة التطور قليلة العمق
0.0469	تربة البحر المتوسط مبتدئة التطور العميق
0.0364	التربة الكلمبية الجافة العميق
0.0326	التربة الكلمبية الكلسية الجافة

ويبين شكل 10 أن قيمة K تراوحت في منطقة الدراسة ما بين 0.0326 - 0.0861 .Ton.h.MJ⁻¹.mm⁻¹



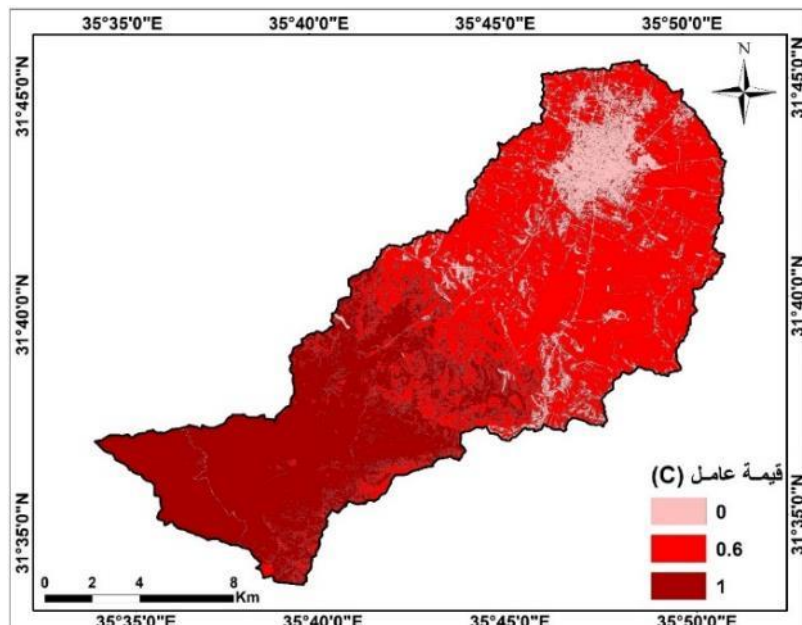
الشكل (10): عامل قابلية التربة للانجراف (K).

Cover Management Factor (C)

تعتمد قيمة C على نوع الغطاء الأرضي السائد في المنطقة، وتترواح قيمة عامل C بين 0-1، وتدل قيمة 1 على احتمالية فقدان كبير لخلو الغطاء النباتي بينما تنخفض في المناطق والمناطق كثافة الغطاء النباتي. يحدد نمط استعمال الأرضي في منطقة الدراسة قيمة عامل C، وقد تم تعين هذا العامل من خلال أنماط استعمال الأرضي، ويوضح الجدول 4 قيم عامل الغطاء الأرضي C المناظرة لكل نوع من استعمالات الأرضي في منطقة الدراسة. وتوجد أعلى القيم للتراب الجرداة بينما تلاشى في المناطق العمرانية والمسطحات المائية. وبين شكل 11 توزيع قيم عامل الغطاء الأرضي في منطقة الدراسة.

الجدول (1): قيمة عامل C حسب تصنيف استعمال الأرضي.

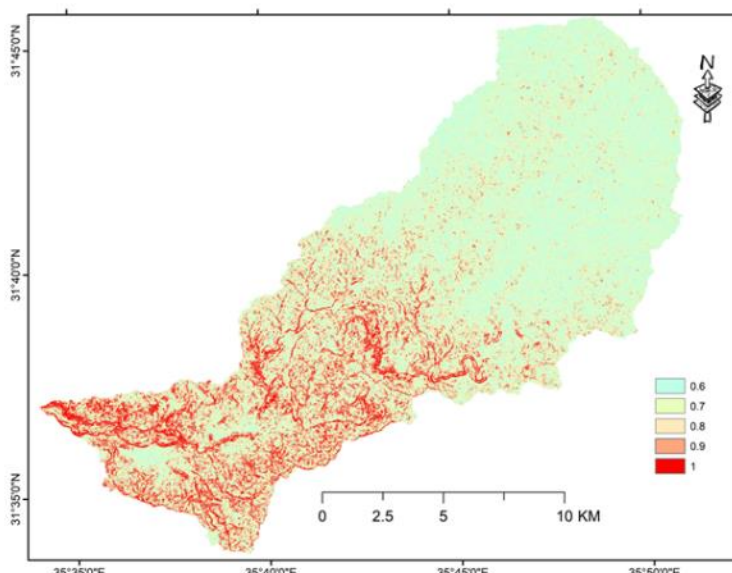
المصدر	قيمة C	صنف
(Farhan et al., 2013)	0	المناطق العمرانية
(USDA-SCS, 1972)	0	المسطحات المائية
et al.,2017) (Sahu	0.6	الأراضي الزراعية
(Farhan et al., 2013)	1	الأراضي الجرداة



الشكل (11): عامل الغطاء الأرضي C.

5.2.5- عامل ممارسة الحفظ (P)

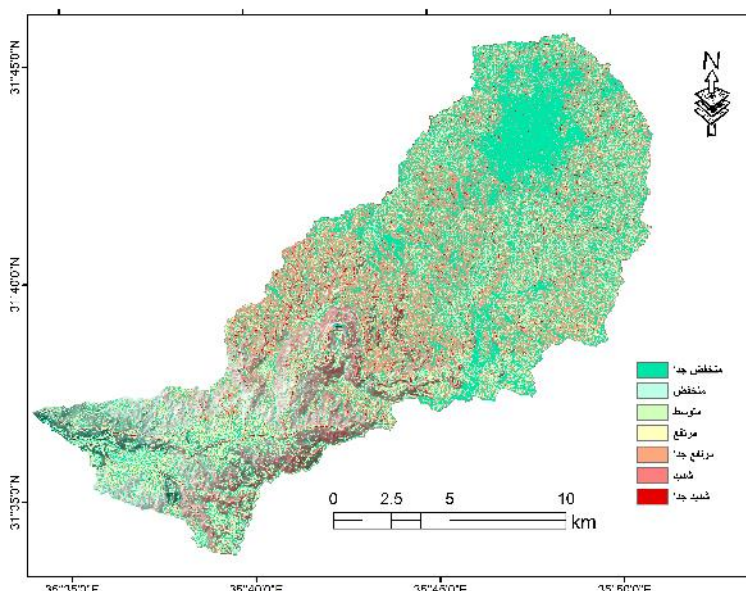
بسبب غياب إجراءات الصيانة والمحافظة على التربة في منطقة الدراسة فقد كان من الصعب استخراج قيم عامل P بصورة دقيقة. وقد تم اشتقاء هذا العامل من خلال نسبة الانحدار حسب دراسة (Sailesh et al., 2016). وتم إعطاء 0.6 لفئة الانحدار من 0 - 7 درجة و 0.7 لفئة 7 - 14 درجة، و 0.8 لفئة 14 - 21 درجة و 0.9 لفئة 21 - 28 درجة وواحد صحيح للانحدار الذي يزيد عن 28 درجة. وبين الشكل (12) التوزيع المكاني لعامل إجراءات المحافظة على التربة في منطقة الدراسة.



الشكل (12): عامل إجراءات المحافظة على التربة (P).

نتائج الدراسة

يوضح الشكل 13 درجات فقدان التربة حسب مقياس منظمة الأغذية والزراعة العالمية (FAO) (أنظر الجدول 5 لمزيد من الإيضاح). ومن خلال الشكل نلاحظ أن معدل فقدان التربة يزداد مع زيادة الانحدار. وهناك تواافق كبير بين الغطاء الأرضي وفقدان التربة، حيث يزداد معدل فقد التربة في الأراضي الجرداء خصوصاً تلك التي تتصرف بالانحدار المترتفع. وبالناظ من خلال الشكل انخفاض فقدان التربة في معظم الأجزاء الشمالية والشمالية الشرقية من الحوض لوجود الغطاء الأرضي مثل المحاصيل الزراعية والمناطق العمرانية التي تترافق مع انحدار قليل.



الشكل (13): التوزيع المكاني لأنجراف التربة في حوض وادي زرقاء ماعين كما تم حسابها من نموذج RUSLE حسب تصنيف منظمة الأغذية والزراعة (FAO).

وقد صنفت منظمة الأغذية والزراعة (FAO: Food and Agriculture Organization) شدة انجراف التربة إلى سبعة مستويات، أقلها منخفض جداً عندما يكون الانجراف أقل من طن/هكتار في السنة وأشدتها عندما يتجاوز الانجراف 100 طن/هكتار في السنة (انظر الجدول 5). واعتتماداً على التصنيف سابق الذكر، فقد صنفت قيم الفقدان في منطقة الدراسة والمساحات المعاشرة لكل شدة كما هو موضح في العمودين 3 و4 من الجدول 5.

الجدول (1): كميات وأصناف الانجراف في حوض وادي زرقاء ماعين بالاعتماد على نتائج RUSLE..

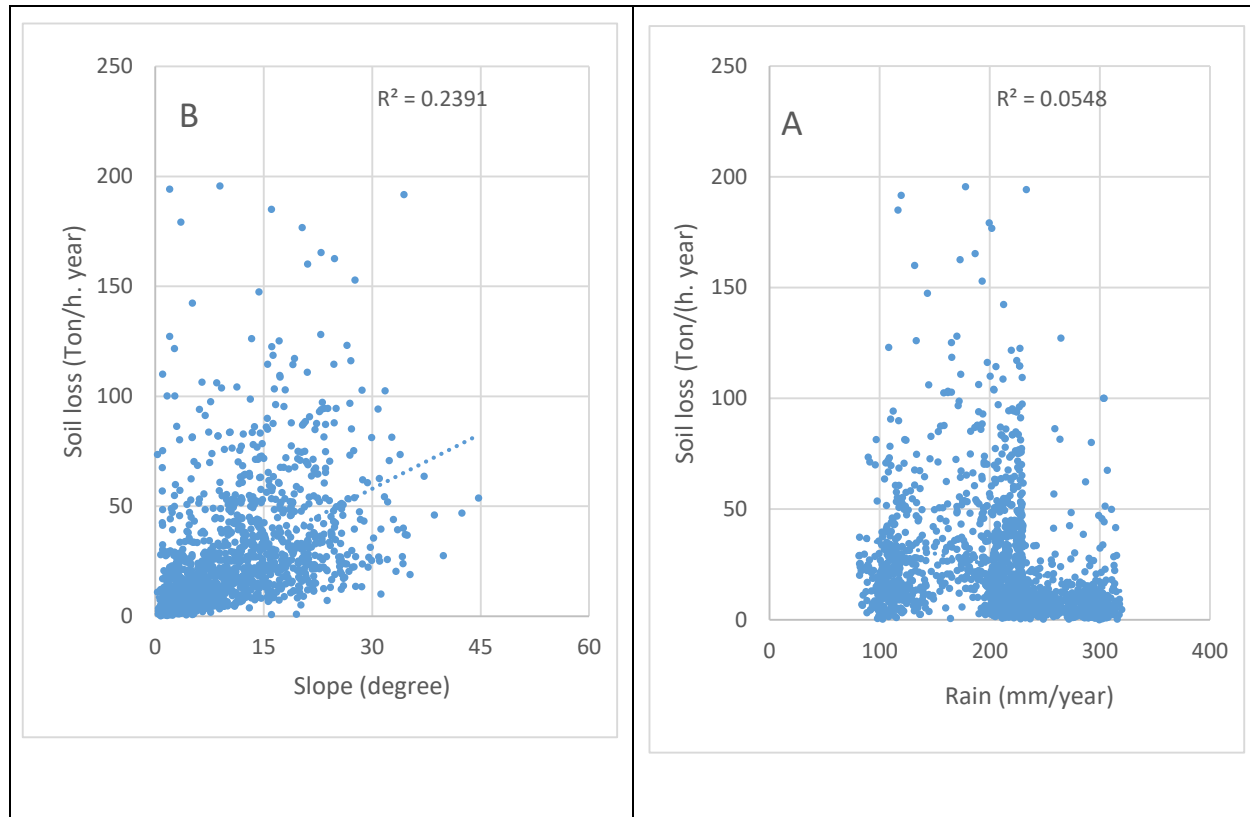
الصنف	كمية انجراف التربة طن/هكتار/سنة*	المساحة/كم ²	النسبة (%)
منخفض جداً	أقل 1	88.09	37.35
منخفض	5 – 1	42.81	18.15
متوسط	10 – 5	26.20	11.10
مرتفع	20 – 10	34.17	14.48
مرتفع جداً	50 – 20	27.13	11.50
شديد	100 – 50	12.12	5.13
شديد جداً (خطر)	أكثر 100	5.3	2.23

* مصدر العمودين الأول والثاني من بيانات الفاو (FAO, 1988)

وتتجدر الإشارة إلى أن هناك علاقة وثيقة بين فقدان التربة والعناصر المختلفة التي يتم دمجها عادة للحصول على تمثيل رقمي لفقدان التربة. وعند استثناء المطر والانحدار، فإن بقية العناصر الأخرى يتم تمثيلها على شكل قيم منفصلة (discrete values)، وهكذا لا يمكن إيجاد علاقة إحصائية مباشرة بين هذه القيم وكمية فقدان التربة. لذا سيتم إيجاد علاقة أولية مشروطة (tentative) بين فقدان التربة من جهة وكل من المطر والانحدار. ولإيجاد العلاقة تم إنشاء 5000 نقطة عشوائية تم من خلالها استخلاص فقدان التربة وكمية الهطول المطري والانحدار على هذه القيم. ويوضح شكل 14 العلاقة الخطية بين فقدان التربة وكل من المطر والانحدار بالدرجة. وقد تم استثناء القيم الكبيرة جداً لفقدان التربة كونها قيم متطرفة ولا تمثل إلا عدداً قليلاً جداً من الحاليا.

ومن الملاحظ أن العلاقة بين فقدان التربة والمطر السنوي لا يمكن تحديده بسهولة لأن الفقد يتاثر أيضاً بعوامل متعددة تشمل الانحدار والغطاء النباتي والمادة العضوية وخصائص التربة الفيزيائية واتجاه السفوح والممارسات البشرية مثل الحراثة والرعي ومستوى صيانة التربة. علماً أن فقد التربة ينخفض على نحو كبير في المناطق المنبسطة أو قليلة الانحدار وذات الغطاء النباتي الكبير، كما ينخفض أيضاً في المناطق العمرانية لعدم وجود تربة هناك. ويرتفع الفقد كثيراً في المناطق المنحدرة، حتى لو كانت كمية المطر السنوي الباطل متبدلة. وعليه، فالعلاقة بين فقد التربة والمطر لا يمكن تمثيله إحصائياً بصورة دقيقة لتوزيع المطر على نطاقات انحدار مختلفة مما يعطي قيم فقد مختلفة لنفس كمية الهطول. أما العلاقة بين فقدان التربة والانحدار فهي قوية وبلغ معامل الارتباط بينهما حوالي 49%. وعلى أية حال وعلى الرغم من أهمية العناصر الأخرى وتأثيرها المهم، إلا أن المحرك الرئيس للعمليات الجيومورفولوجية المائية مثل فقدان التربة والتعرية والامهيارات والزحف الأرضي ترتبط على نحو مباشر بالانحدار لأن المحرك الرئيس لجميع الحركات الأرضية الجيومورفولوجية لارتباط العناصر سابقة الذكر بالجاذبية الأرضية التي تزداد كلما زاد الانحدار (Goudie, 1981).

وعلى أية حال فإن العلاقة بين كمية فقدان التربة والعناصر الطبيعية المؤثرة فيها تحتاج إلى بيانات تفصيلية على المستويين الزمني والمكاني للوصول لنتائج دقيقة، أما عند استخدام معدلات عامة، فإن العلاقة الإحصائية قد لا تكون واضحة.



الشكل (14): العلاقة بين فقدان التربة (طن / هكتار في السنة) وكل من كمية المطر السنوي (A) والانحدار بالدرجة (B)

النقاش والخاتمة

يمثل انجراف التربة خطراً يهدد الإنتاج الزراعي، خصوصاً في البيانات الجافة وشبه الجافة لطول الفترة الزمنية الازمة لتكون التربة في هذه البيانات لانخفاض كمية المطر المسؤول عن التجوية الكيماوية. كما أن انجراف التربة يمثل خطراً يهدد السدود المقاومة أو المنوي إنشاؤها. إذ يؤدي انجراف التربة إلى خفض السعة التخزينية للسدود كما يقلل من العمر الافتراضي لهذه السدود. ويسمى انجراف التربة أيضاً في التأثير على نوعية المياه وتمهيد الحياة المائية، إن وجدت، ضمن السدود المقاومة. إذ أن انجراف التربة يرافقه عادة انتقال المبيدات والأسمدة العضوية والكيماوية التي تتواضع في السدود وما يرافق ذلك من التأثير على نوعية المياه وزيادة الآثار الغذائي (eutrophication) الذي يعمل على خفض الأكسجين عند موت وتحلل الطحالب في مياه السدود.

ومن خلال النتائج الواردة حسب النموذج، توجد أعلى قيم لفقدان التربة في المناطق شديدة الانحدار المحاذية للمجرى المائي. وعلى الرغم من أن المناطق الدنيا من الحوض تخلو من الغطاء النباتي ولو وجود انحدار كبير نسبياً، إلا أن فقدان التربة منخفض نسبياً في هذه القفار المجدبة لقلة الأمطار. وقد بلغت مساحة الأرض ذات الفقد المنخفض جداً حوالي 88.09 km^2 وبنسبة تصل إلى 37.35% من مساحة الحوض. وتنشر هذه القيم في أراضي الحوض العليا لسيطرة الأراضي الزراعية المنبسطة والمناطق العمรانية. أما الفقد المنخفض (1-5 طن/هكتار/سنة) فينتشر في الأجزاء الشمالية والشمالية الشرقية بمساحة 42.81 km^2 وبنسبة 18.15%. أما الفقد المتوسط فينتشر بصورة عشوائية في الحوض بمساحة 26.20 km^2 وشكل نسبة 11.10% من مساحة الحوض. أما الشديد والشديد جداً فقد بلغت مساحتها 17.42 km^2 وبنسبة 7.35% من مساحة الحوض.

وفي هذا السياق يجب الإشارة إلى عدة نقاط مهمة في ما يتعلق بدراسة فقد التربة التي يغفل عنها كثير من الباحثين وهي كمية الرسوبيات المنتجة وما يقدمه النموذج من وسيلة متقدمة في إدارة الأحواض المائية والحفاظ على الأراضي الزراعية والمواد الطبيعية الأخرى. إذ أن النموذج الحالي يفيد في تقدير حجم الرسوبيات التي يمكن أن تصل لأي سد مقام ضمن الحوض. فمن خلال حساب المساحات المعروضة في الجدول 5-الأعمدة 3 و4 التي تم الحصول عليها بعد تحويل الأصناف المختلفة إلى بيانات خطية، فإن متوسط قابلية التربة للانجراف في الحوض ككل تبلغ بحدود 14.4 طن / هكتار في السنة. وتتوافق هذه النتائج مع دراسات سابقة حيث وجد (Bensekhria, and Bouhata, 2022) أن معدل فقدان التربة السنوي في وادي العويد في الأوراس / الجزائر كانت بحدود 16 طن / هكتار.

وتعتبر كمية الرواسب المنقلولة بواسطة المجرى المائي إلى مخرج الحوض مقارنة مع مجموع التعرية من الحوض كل مؤشراً شائعاً لاستخدام في

الأحواض النهرية، ويطلق على هذا المؤشر مصطلح مؤشر الرسوبيات الخارجية من الحوض (sediment delivery ratio) (Walling, 1983; Dickenson, 1998 and Collins, 1998). وتعرف نسبة الرسوبيات الخارجية من الحوض على أنها كمية الرسوبيات الفعلية المتداخنة خارج الحوض مقارنة بكمية الرسوبيات المنتجة داخل الحوض. إذ أن فقدان التربة في جزء من الحوض لا يعني بالضرورة أن ذلك يمثل ناتج رسوبي بل أن هذا الفقد يتربس في كثير من الأحيان داخل بيته الحوض نفسه قبل أن يصل إلى المجاري المائية. وتناسب نسبة الرسوبيات الخارجية عكسياً مع مساحة الحوض. وتعد هذه المعلومات قيمة في ما يتعلق بكمية الرسوبيات التي يمكن أن ينتهي بها المطاف داخل السدود المائية، وهكذا التأثير على العمر الافتراضي للسدود المقامرة. ويعتمد تأكيل التربة في الأحواض النهرية على شكل الحوض وطوبوغرافيته وخصائص التربة والغطاء الأرضي والظروف المناخية وإدارة الحوض؛ وتتراوح النسبة للأحواض متوسطة الحجم، كما هو حال الحوض قيد الدراسة، ما بين 10% أو أقل في الأحواض ذات الغطاء النباتي الكثيف إلى ما يزيد عن 40% للأحواض المبنكة التي تتعرض لرعي جائر وسوء إدارة خصوصاً عندما يترافق ذلك مع طبوغرافية وعرة (Nguyen and Chen, 2018). ووجد الكثير من الباحثين علاقة بين مساحة الحوض ومؤشر الرسوبيات الخارجية من الحوض. ومن خلال نتائج النموذج الحالي، فإنه يمكن تقدير الكمية الكلية للرسوبيات التي "تصدرها" الحوض باتجاه سد مقام إن وجد. وعند حساب الكمية الكلية، وبافتراض أن 40% من كمية التربة المفقودة تنتهي كمواد منقولة نحو الأودية، فإن الكمية التي سيتم نقلها ستكون بحدود 120-130 ألف طن في السنة. وعند الافتراض أن الكثافة النوعية (specific gravity) للرسوبيات بحدود 1.4-1.3، فإن حجم الرسوبيات السنوية تبلغ بحدود 80-100 ألف متر مكعب. وتعطي هذه الكمية فكرة جيدة عن معدل التراكم السنوي للرسوبيات. وعلى أية حال، فإنه يجب حساب حجم الرسوبيات الواقعية في المناطق المغذية لجسم السد وليس الشكل الطبيعي للحوض الذي ينتهي عادة في البحر الميت. كما يجب الإشارة إلى أن حجم الرسوبيات السنوية تتذبذب بصورة كبيرة بين سنة وأخرى نتيجة وقوع الحوض في بيئه جافة تتعرض لتذبذبات واسعة في كمية البطلول المطري السنوي وتوزيعه الزمني وشدة مما يؤثر في حجم الرسوبيات الناتجة. وعلى الرغم من أن القيم الواردة أعلاه تقريرية، إلا أنها تعد مؤشراً جيداً يفيد في حساب العمر الافتراضي للسدود المقامرة أو المقترحة في البيئات الأردنية المختلفة، ويمكن هكذا البناء عليها لتقديم كمية الرسوبيات المتداخنة في الأحواض المختلفة، علماً أنه لا يوجد قياسات حقيقة لكمية الرسوبيات المتوقعة عند البدء بإنشاء السدود والحفائر المائية.

وتعد المعادلة العالمية لفقدان التربة المعدلة وسيلة ملائمة لتحديد مناطق التعرية المائية على المدى الطويل. إذ يمكن استخدام النموذج الحالي كوسيلة لإدارة الأحواض النهرية من أجل المحافظة على التربة والحد من انجرافها وفي المحافظة على الموارد الطبيعية وكوسيلة لحفظ النظام الحيوي. إذ يمكن تحديد المناطق الأكثر عرضة للانجراف، وهكذا توجيه المزارعين أو البيانات الحكومية المعنية لبناء المصاطب أو المصدات الزراعية التي تسهم في خفض فقدان التربة والانجراف. وتمثل الخريطة المنتجة (التوزيع المكاني لاحتمالية لفقدان التربة) خطوة أساسية للبدء في اتخاذ إجراءات الصيانة لحفظ التربة والمحافظة على الموارد الطبيعية.

المصادر والمراجع

- العرود، ابراهيم والمسرات، عمر، (2010)، عواصف الغبار في المناطق الصحراوية في الأردن: منطقة القطرانة- ضبيعة: حالة دراسية. المجلة الأردنية للعلوم الاجتماعية، مجلد 2، عدد 3، الصفحة 327-311.
- العوادات، ميادة، (2019)، تقدير الناتج الرسوبي لحوض كفرسوم من حوض نهر اليرموك باستخدام معادلة RUSLE ونظم المعلومات الجغرافية "GIS". رسالة ماجистير غير منشورة، جامعة مؤتة –الأردن.
- القطيش، مها، (2013)، تقدير انجراف التربة باستخدام نموذج المعادلة العالمية لتقدير انجراف التربة RUSLE حالة دراسية: حوض وادي الحسا/الأردن. جامعة الملك خالد، المملكة العربية السعودية.
- المحمد، هيفاء والبليسي، حسام، (2019)، تقدير تدهور التربة في حوض وادي العرب باستخدام نظم المعلومات الجغرافية، دراسات، العلوم الإنسانية والاجتماعية، المجلد 46، العدد 1.
- محمد، عيسى، وكبيبو، عمran وايلين، محفوظ، (2016)، تقدير الانجراف المائي في منطقة الشيخ بدر – سوريا باستخدام المعادلة العالمية لانجراف RUSLE وبرنامج WEPP، (ط)، سوريا: نور للنشر.
- المركز الوطني للبحوث الزراعية، (2020)، عينات تربة. بيانات غير منشورة، عمان، الأردن.
- شعوان، جمال، (2015)، توظيف الاستشعار عن بعد ونظم المعلومات الجغرافية في دراسة التعرية المائية بالريف الأوسط – حوض امزاز أنموذجاً. رسالة دكتوراة منشورة، كلية الآداب والعلوم الإنسانية سايس – المغرب.
- فرحان، ي، خضر، ا. (2011)، انجراف التربة في حوض التصريف الهنري الأعلى لوادي الزومر. رسالة ماجистير منشورة. جامعة النجاح الوطنية، نابلس - فلسطين.

وزارة الزراعة، (1994)، المشروع الوطني لخارطة التربة واستعمالات الاراضي، المستوى الأول (بيانات غير منشورة)، عمان، الأردن.

وزارة المياة والري الأردنية، (2018)، بيانات مناخية، تقارير غير منشورة، عمان، الاردن.

REFERENCES

- Abdo, H., Salloum, J. (2017). Mapping the soil loss in Marqya basin: Syria using RUSLE model in GIS and RS techniques. *Environ Earth Sci*, 76, 114. <https://doi.org/10.1007/s12665-017-6424-0>
- Alka. Sahu, Triambak. Baghel, Manish. Kumar Sinha. (2017), Erosion Modeling using Rusle and GIS on Dudhawa Catchment. *International Journal of Applied Environmental Sciences*, 12, (6), 1147-1158.
- Bensekhria, A.; Bouhata, R. (2022). Assessment and Mapping Soil Water Erosion Using RUSLE Approach and GIS Tools: Case of Oued el-Hai Watershed, Aurès West, Northeastern of Algeria. *ISPRS Int. J. Geo-Inf.* 2022, 11, 84. <https://doi.org/10.3390/ijgi11020084>
- Dickinson A, Collins R. (1998). Predicting erosion and sediment yield at the catchment scale. In: Penning de Vries FWT, Agus F, and Kerr J (Eds) *Soil erosion at multiple scales, principles and methods for assessing causes and impact*. CABI Publishing, Wallingford, UK in association with the International Board for Soil Research and Management, 317–342.
- El-Swaify S. A., (1997). Factors Affecting Soil Erosion Hazards and Conservation Needs for Tropical Steep Lands, *Soil Technology*, 11(1). 3-16.
- FAO (1984). Ethiopian Highland reclamation study. (EHRS). Final Report, vol 1-2 Roma.
- FAO & ITPS, (2015). Status of the World's Soil Resources (SWSR) – Technical Summary. Food and Agriculture Organization of the United Nations.
- Farhan, Y., Zregat, D., Farhan, I. (2013). Spatial Estimation of Soil Erosion Risk Using RUSLE Approach, RS, and GIS Techniques: A Case Study of Kufranja Watershed, Northern Jordan. *Journal of Water Resource and Protection*, 5, 1247-1261.
- Goudie, A. (1981). *Geomorphological Techniques*, George Allen &Unwin Ltd, London, 395.
- Li, X. Y (2000). Soil and Water Conservation in Arid and Semi-arid Areas: The Chinese Experience *Annals of Arid Zone*, 39(4), 377-393.
- Igwe, P.U.; Onuigbo, A.A.; Chinedu, O.C.; Ezeaku, I.I.; Muoneke, M.M (2017). Soil Erosion: A Review of Models and Applications, *Int. J. Adv. Eng. Res. Sci.*, 4(12), 2349-2456, doi: [10.22161/ijaers.4.12.22](https://doi.org/10.22161/ijaers.4.12.22)
- George, J., Suresh Kumar, S. (2017). Modelling soil erosion risk in a mountainous watershed of Mid-Himalaya by integrating RUSLE model with GIS .*Eurasian Journal of Soil Science*, 6 (2), 92-105.
- Kaushik. Ghosal, Santasmita. Das Bhattacharya, (2020). A Review of RUSLE Model. *Indian Society of Remote Sensing*, 48(4), 689–707. <https://doi.org/10.1007/s12524-019-01097-0>.
- López D. T., Aide M. T., Scatena F.N. (1998). The effect of land use on soil erosion in the Guadiana watershed in Puerto Rico. *Caribbean Journal of Science*, 34, 298–307.
- McCool DK, Brown LC, Foster GR (1987) Revised slope steepness factor for the universal soil loss equation. *Trans Am Soc Agric Eng*, 30, 1387–1396.
- Moore, I., Burch, G. (1986), “Basis of the Length-Slope Factor in the Universal Soil Loss Equation. Soil”. *Science Society of America Journal*, 50, 1294-1298.
- Nguyen, K., Chen, W. (2018). Estimating sediment delivery ratio by stream slope and relief ratio, MATEC Web of Conferences 192(HY12): doi: [10.1051/matecconf/201819202040](https://doi.org/10.1051/matecconf/201819202040) ICEAST
- Ontario Center for Soil Resource Evaluation (1993), (http://www.omafra.gov.on.ca/english/landuse/facts/soil_survey.htm).
- Oroud, I. M (2015). Water budget assessment within a typical semiarid watershed in the Eastern Mediterranean, *Environmental Process* 06/2015; 3(2),1-15. DOI: [10.1007/s40710-015-0072-8](https://doi.org/10.1007/s40710-015-0072-8).
- Oroud, I. M. (2018). Global warming and its implications on meteorological and hydrological drought in the southeastern Mediterranean: *Environmental Processes*, DOI:[10.1007/s40710-018-0301-z](https://doi.org/10.1007/s40710-018-0301-z)

- Oroud, I. M. (2022). Integration of GIS and remote sensing to derive spatially continuous thermal comfort and degree days across the populated areas in Jordan. *International Journal of Biometeorology*, DOI: 10.1007/s00484-022-02355-6
- Renard, K. G., Foster, G. R., Weesies, G. A., McCool, D., and Yoder, D., (1997). Predicting Soil Erosion by Water: A Guide to Conservation Planning with the Revised Universal Soil Loss Equation (RUSLE). Agriculture Handbook (Washington)(703).
- Samanta, S., Koloa, C., Kumar K., Palsamanta, B. (2016). Estimation of potential soil erosion rate using RUSLE and E30 model. *Modeling Earth Systems and Environment* volume 2, Article number: 149.
- Shamshad, C.S. Leow, A. Ramlah, W.M.A. Wan Hussin, S.A. Mohd. Sanusi (2008). Applications of AnnAGNPS model for soil loss estimation and nutrient loading for Malaysian conditions, *International Journal of Applied Earth Observation and Geoinformation*, 10 (2008) 239–252
- Soil Conservation Service (SCS) (1972) National Engineering Handbook, Section 4: Hydrology. Department of Agriculture, Washington DC, 762.
- Soto, M. J., Domínguez-Ferreras, A., Pérez-Mendoza, D., Sanjuán, J., and Olivares, J. (2009). Mutualism versus pathogenesis: the give-and-take in plant–bacteria interactions. *Cell. Microbiol.* 11, 381–388. doi: 10.1111/j.1462-5822.2009.01282.x
- Wang Q, Liu J and Zhu H (2018). Genetic and Molecular Mechanisms Underlying Symbiotic Specificity in Legume-Rhizobium Interactions. *Front. Plant Sci.* 9, 313. doi: 10.3389/fpls.2018.0031
- Wischmeier, W., Smith, D. (1965), Predicting rainfall-erosion losses from cropland east of the Rocky Mountains: Guide for selection of practices for soil and water conservation. U.S. Department of Agriculture, Agricultural Research Service, Issue 282 of Agriculture Handbook. Washington DC, USA. 47.
- Wischmeier .W., Smith, D.,(1978), Predicting rainfall erosion losses—A guide to conservation planning. Agriculture Handbook No. 537, 3–4.
- Walling, D. E. (1983). The sediment delivery problem, *J. Hydrology*, 65, 209-237.
- Young, R. A., Onstad, C. A., Bosch, D. D. and Anderson, W. P. (1995). AGNPS: A Nonpoint Source Pollution Model. In: Computer Models of Watershed Hydrology, Chapter 26:1011-1020. Water Resources Publications, Colorado, USA.